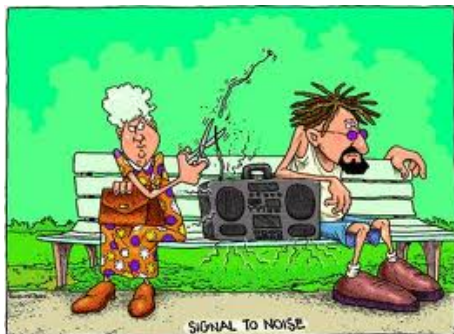


# Detekce světla – Šum fotodetektorů

Antonín Černoch    Jan Soubusta    Ondřej Haderka

Společná Laboratoř Optiky UP a FZÚ AV ČR



# Obsah

1

## Zdroje šumu

- Fotonový šum
- Fotoelektronový šum
- Šum fotoproudu
- Šum zisku
- Obvodový šum

2

## SNR a BER

# Šum fotodetektorů

Generovaný elektrický proud  $I(t)$  je náhodná veličina

$$\bar{I} = \eta e \Phi_p, \quad \sigma_I^2 = \langle (I - \bar{I})^2 \rangle$$

# Šum fotodetektorů

Generovaný elektrický proud  $I(t)$  je náhodná veličina

$$\bar{I} = \eta e \Phi_p, \quad \sigma_I^2 = \langle (I - \bar{I})^2 \rangle$$

## Zdroje šumu

- ① Fotonový šum – dopadající fotony, většinou Poissonovo rozdělení
- ② Fotoelektronový šum – vždy pro  $\eta < 1$
- ③ Šum zisku – u fotorezistorů a APD zisk náhodný
- ④ Šum vnějšího obvodu – rezistory, kondenzátory atd.
- ⑤ Šum pozadí – neodstíněné světlo z nesledovaných zdrojů, termální záření objektů
- ⑥ Temný šum – náhodná generace nosičů termálně nebo tunelováním

# Šum fotodetektorů

Generovaný elektrický proud  $I(t)$  je náhodná veličina

$$\bar{I} = \eta e\Phi_p, \quad \sigma_I^2 = \langle (I - \bar{I})^2 \rangle$$

## Zdroje šumu

- ① Fotonový šum – dopadající fotony, většinou Poissonovo rozdělení
- ② Fotoelektronový šum – vždy pro  $\eta < 1$
- ③ Šum zisku – u fotorezistorů a APD zisk náhodný
- ④ Šum vnějšího obvodu – rezistory, kondenzátory atd.
- ⑤ Šum pozadí – neodstíněné světlo z nesledovaných zdrojů, termální záření objektů
- ⑥ Temný šum – náhodná generace nosičů termálně nebo tunelováním

# Šum fotodetektorů

Generovaný elektrický proud  $I(t)$  je náhodná veličina

$$\bar{I} = \eta e\Phi_p, \quad \sigma_I^2 = \langle (I - \bar{I})^2 \rangle$$

## Zdroje šumu

- ① Fotonový šum – dopadající fotony, většinou Poissonovo rozdělení
- ② Fotoelektronový šum – vždy pro  $\eta < 1$
- ③ Šum zisku – u fotorezistorů a APD zisk náhodný
- ④ Šum vnějšího obvodu – rezistory, kondenzátory atd.
- ⑤ Šum pozadí – neodstíněné světlo z nesledovaných zdrojů, termální záření objektů
- ⑥ Temný šum – náhodná generace nosičů termálně nebo tunelováním

# Šum fotodetektorů

Generovaný elektrický proud  $I(t)$  je náhodná veličina

$$\bar{I} = \eta e\Phi_p, \quad \sigma_I^2 = \langle (I - \bar{I})^2 \rangle$$

## Zdroje šumu

- ① Fotonový šum – dopadající fotony, většinou Poissonovo rozdělení
- ② Fotoelektronový šum – vždy pro  $\eta < 1$
- ③ Šum zisku – u fotorezistorů a APD zisk náhodný
- ④ Šum vnějšího obvodu – rezistory, kondenzátory atd.
- ⑤ Šum pozadí – neodstíněné světlo z nesledovaných zdrojů, termální záření objektů
- ⑥ Temný šum – náhodná generace nosičů termálně nebo tunelováním

# Šum fotodetektorů

Generovaný elektrický proud  $I(t)$  je náhodná veličina

$$\bar{I} = \eta e \Phi_p, \quad \sigma_I^2 = \langle (I - \bar{I})^2 \rangle$$

## Zdroje šumu

- ① Fotonový šum – dopadající fotony, většinou Poissonovo rozdělení
- ② Fotoelektronový šum – vždy pro  $\eta < 1$
- ③ Šum zisku – u fotorezistorů a APD zisk náhodný
- ④ Šum vnějšího obvodu – rezistory, kondenzátory atd.
- ⑤ Šum pozadí – neodstíněné světlo z nesledovaných zdrojů, termální záření objektů
- ⑥ Temný šum – náhodná generace nosičů termálně nebo tunelováním

# Šum fotodetektorů

Generovaný elektrický proud  $I(t)$  je náhodná veličina

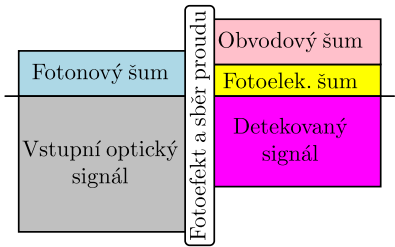
$$\bar{I} = \eta e \Phi_p, \quad \sigma_I^2 = \langle (I - \bar{I})^2 \rangle$$

## Zdroje šumu

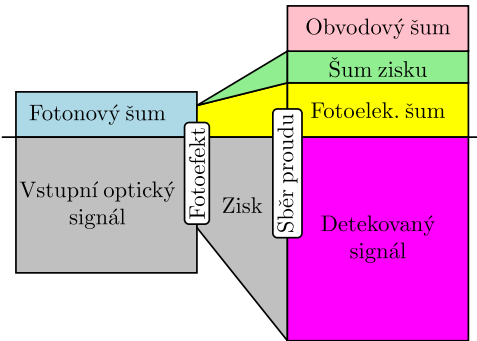
- ① Fotonový šum – dopadající fotony, většinou Poissonovo rozdělení
- ② Fotoelektronový šum – vždy pro  $\eta < 1$
- ③ Šum zisku – u fotorezistorů a APD zisk náhodný
- ④ Šum vnějšího obvodu – rezistory, kondenzátory atd.
- ⑤ Šum pozadí – neodstíněné světlo z nesledovaných zdrojů, termální záření objektů
- ⑥ Temný šum – náhodná generace nosičů termálně nebo tunelováním

# Zdroje šumu

Detektor bez zisku



Detektor se ziskem



# Veličiny poměřující šum

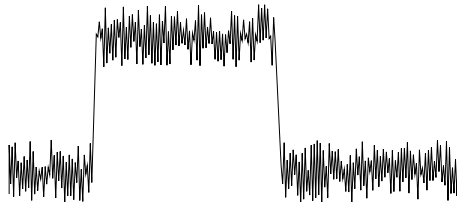
**SNR** Poměr signálu k šumu,  $\text{SNR} = \frac{\bar{I}^2}{\sigma_I^2} = \frac{\bar{n}^2}{\sigma_n^2}$ ,  
minimální detekovaný signál má  $\text{SNR} = 1$

**NEP** Výkon odpovídající šumu

**F** Faktor zvýšení šumu (*Excess noise factor*),  $F = \langle G^2 \rangle / \langle G \rangle^2$

**BER** Chybovost na bit informace (*Bit error rate*)

Citlivost přijímače (*Receiver sensitivity*) minimální  $\Phi_p$  pro určitou hodnotu  $\text{SNR}_0$  ( $10-10^3$ ) popř. BER ( $10^{-9}$ )



# Veličiny poměřující šum

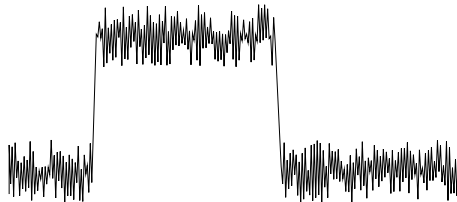
**SNR** Poměr signálu k šumu,  $\text{SNR} = \frac{\bar{I}^2}{\sigma_I^2} = \frac{\bar{n}^2}{\sigma_n^2}$ ,  
minimální detekovaný signál má  $\text{SNR} = 1$

**NEP** Výkon odpovídající šumu

$F$  Faktor zvýšení šumu (*Excess noise factor*),  $F = \langle G^2 \rangle / \langle G \rangle^2$

**BER** Chybovost na bit informace (*Bit error rate*)

Citlivost přijímače (*Receiver sensitivity*) minimální  $\Phi_p$  pro určitou hodnotu  $\text{SNR}_0$  ( $10-10^3$ ) popř. BER ( $10^{-9}$ )



# Veličiny poměřující šum

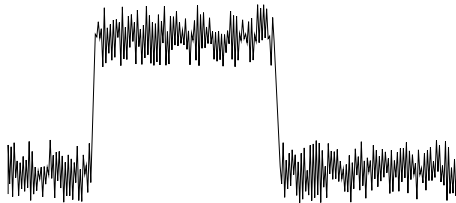
**SNR** Poměr signálu k šumu,  $\text{SNR} = \frac{\bar{I}^2}{\sigma_I^2} = \frac{\bar{n}^2}{\sigma_n^2}$ ,  
minimální detekovaný signál má  $\text{SNR} = 1$

**NEP** Výkon odpovídající šumu

**F** Faktor zvýšení šumu (*Excess noise factor*),  $F = \langle G^2 \rangle / \langle G \rangle^2$

**BER** Chybovost na bit informace (*Bit error rate*)

Citlivost přijímače (*Receiver sensitivity*) minimální  $\Phi_p$  pro určitou hodnotu  $\text{SNR}_0$  ( $10-10^3$ ) popř. BER ( $10^{-9}$ )



# Veličiny poměřující šum

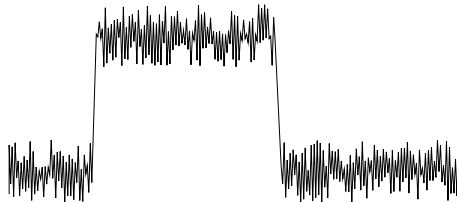
**SNR** Poměr signálu k šumu,  $\text{SNR} = \frac{\bar{I}^2}{\sigma_I^2} = \frac{\bar{n}^2}{\sigma_n^2}$ ,  
minimální detekovaný signál má  $\text{SNR} = 1$

**NEP** Výkon odpovídající šumu

$F$  Faktor zvýšení šumu (*Excess noise factor*),  $F = \langle G^2 \rangle / \langle G \rangle^2$

**BER** Chybovost na bit informace (*Bit error rate*)

Citlivost přijímače (*Receiver sensitivity*) minimální  $\Phi_p$  pro určitou hodnotu  $\text{SNR}_0$  ( $10-10^3$ ) popř. BER ( $10^{-9}$ )



# Veličiny poměřující šum

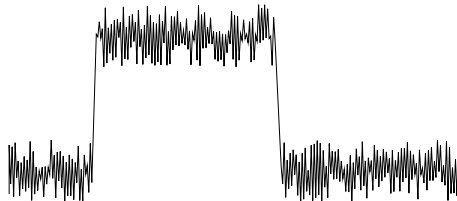
**SNR** Poměr signálu k šumu,  $\text{SNR} = \frac{\bar{I}^2}{\sigma_I^2} = \frac{\bar{n}^2}{\sigma_n^2}$ ,  
minimální detekovaný signál má  $\text{SNR} = 1$

**NEP** Výkon odpovídající šumu

$F$  Faktor zvýšení šumu (*Excess noise factor*),  $F = \langle G^2 \rangle / \langle G \rangle^2$

**BER** Chybovost na bit informace (*Bit error rate*)

Citlivost přijímače (*Receiver sensitivity*) minimální  $\Phi_p$  pro určitou hodnotu  $\text{SNR}_0$  ( $10-10^3$ ) popř.  $\text{BER} (10^{-9})$



# Fotonový šum

- neodstranitelný, charakteristika dopadajícího záření
- Laserové záření nebo termální s šírkou spektra  $> 1/T \rightarrow$  Poissonova statistika

# Fotonový šum

- neodstranitelný, charakteristika dopadajícího záření
- Laserové záření nebo termální s šírkou spektra  $> 1/T \rightarrow$  Poissonova statistika

## Poissonova statistika (výstřelový šum)

$$\bar{n} = \Phi_p t_r, \quad p(m) = \frac{\bar{n}^m e^{-\bar{n}}}{m!}, \quad \sigma_n^2 = \bar{n}, \quad \text{SNR} = \bar{n}$$

# Fotonový šum

- neodstranitelný, charakteristika dopadajícího záření
- Laserové záření nebo termální s šírkou spektra  $> 1/T \rightarrow$  Poissonova statistika

## Poissonova statistika (výstřelový šum)

$$\bar{n} = \Phi_p t_r, \quad p(m) = \frac{\bar{n}^m e^{-\bar{n}}}{m!}, \quad \sigma_n^2 = \bar{n}, \quad \text{SNR} = \bar{n}$$

minimální detekovaný signál je 1 foton

# Fotonový šum

- neodstranitelný, charakteristika dopadajícího záření
- Laserové záření nebo termální s šírkou spektra  $> 1/T \rightarrow$  Poissonova statistika

## Poissonova statistika (výstřelový šum)

$$\bar{n} = \Phi_p t_r, \quad p(m) = \frac{\bar{n}^m e^{-\bar{n}}}{m!}, \quad \sigma_n^2 = \bar{n}, \quad \text{SNR} = \bar{n}$$

minimální detekovaný signál je 1 foton

## Example

Pro  $t_r = 1 \mu\text{s}$  a  $\lambda = 1.24 \mu\text{m}$  odpovídá jeden foton minimálnímu detekovanému výkonu  $0.16 \text{ pW}$ .

Pro  $\text{SNR}_0 = 10^3$  (30 dB) je potřeba  $10^3$  fotonů.

# Fotoelektronový šum

Náhodnost vzniku páru nosičů po dopadu fotonu

- s pravděpodobností  $\eta$  vznikne
- s pravděpodobností  $1 - \eta$  nevznikne



# Fotoelektronový šum

Náhodnost vzniku páru nosičů po dopadu fotonu

- s pravděpodobností  $\eta$  vznikne
- s pravděpodobností  $1 - \eta$  nevznikne



Počet fotoelektronů

- náhodná veličina
- střední hodnota  $\bar{m} = \eta \bar{n} = \eta \Phi_p t_r$
- kopíruje statistiku dopadajícího záření  
(Poissonova  $\rightarrow \sigma_m^2 = \text{SNR} = \bar{m} = \eta \bar{n}$ )
- fotoelektronový a fotonový šum nejsou aditivní

# Fotoelektronový šum

Náhodnost vzniku páru nosičů po dopadu fotonu

- s pravděpodobností  $\eta$  vznikne
- s pravděpodobností  $1 - \eta$  nevznikne

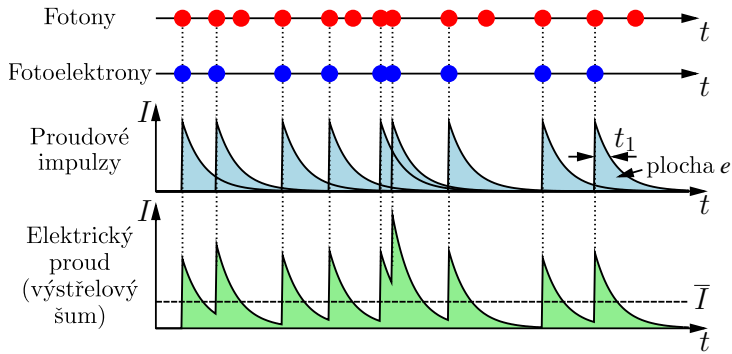


Počet fotoelektronů

- náhodná veličina
- střední hodnota  $\bar{m} = \eta \bar{n} = \eta \Phi_p t_r$
- kopíruje statistiku dopadajícího záření  
(Poissonova  $\rightarrow \sigma_m^2 = \text{SNR} = \bar{m} = \eta \bar{n}$ )
- fotoelektronový a fotonový šum nejsou aditivní

# Šum fotoproudu

- fluktuace elektrického proudu  $I(t)$  v obvodu fotodetektoru v závislosti na dopadajícím fotonovém toku
- zahrnuje fotonový a fotoelektronový šum, charakteristickou dobu odezvy a elektrické zapojení detektoru



# Šum fotoproudu

- dopadající záření  $\Phi_p$  generuje  $\eta \bar{n} = \bar{m}$  fotoelektronů za charakteristickou dobu odezvy  $t_r = \frac{1}{2B}$  (rozlišovací schopnost)
- fotoproud  $I = \bar{m}e/t_r$ ,  $\sigma_I^2 = (e/t_r)^2 \sigma_m^2$

# Šum fotoproudu

- dopadající záření  $\Phi_p$  generuje  $\eta \bar{n} = \bar{m}$  fotoelektronů za charakteristickou dobu odezvy  $t_r = \frac{1}{2B}$  (rozlišovací schopnost)
- fotoproud  $\bar{I} = \bar{m}e/t_r$ ,  $\sigma_I^2 = (e/t_r)^2 \sigma_m^2$

## Poissonovské dopadající záření

$$\bar{I} = e\eta\Phi_p, \quad \sigma_I^2 = 2e\bar{I}B, \quad \text{SNR} = \frac{\bar{I}^2}{\sigma_I^2} = \frac{\bar{I}}{2eB} = \frac{\eta\Phi_p}{2B} = \bar{m}$$

# Příklad

$$\bar{I} = e\eta\Phi_p, \quad \sigma_I^2 = 2e\bar{I}B, \quad \text{SNR} = \frac{\bar{I}^2}{\sigma_I^2} = \frac{\bar{I}}{2eB} = \frac{\eta\Phi_p}{2B} = \bar{m}$$

- $\Phi_p = 1.25 \times 10^{11}$  fotonů/s,  $B = 100$  MHz,  $\eta = 50\%$
- rozlišovací doba detektoru  $t_r = \frac{1}{2B} = 5$  ns
- proud  $\bar{I} = 10$  nA a šumový proud  $\sigma_I \approx 0.57$  nA
- SNR = 312.5 (25 dB)
- minimální zaznamenatelný fotonový tok je  $\Phi_p = \frac{2B}{\eta} = 4 \times 10^8$
- pro citlivost přijímače  $SNR_0 = 10^3$  dostaneme

$$\Phi_p = 1000 \frac{2B}{\eta} = 4 \times 10^{11} \text{ fotonů za sekundu}$$

# Šum zisku

## Proces zesílení

deterministický – potom  $e \rightarrow q = Ge$ , žádný šum navíc

náhodný (u fotorezistoru, APD i fotonásobiče) – potom  $\bar{G}$  s  $\sigma_G^2$

$$\text{proud v obvodu} \quad \bar{I} = e\bar{G}\eta\Phi_p, \quad \sigma_I^2 = 2e\bar{G}\bar{I}BF$$

# Šum zisku

## Proces zesílení

deterministický – potom  $e \rightarrow q = Ge$ , žádný šum navíc

náhodný (u fotorezistoru, APD i fotonásobiče) – potom  $\bar{G}$  s  $\sigma_G^2$

$$\text{proud v obvodu} \quad \bar{I} = e\bar{G}\eta\Phi_p, \quad \sigma_I^2 = 2e\bar{G}\bar{I}BF$$

## Faktor zvýšení šumu $F$

- $F = \frac{\langle G^2 \rangle}{\langle G \rangle^2} = 1 + \frac{\sigma_G^2}{\langle G \rangle^2}$
- $F \geq 1$  a roste s náhodností zesílení

# Šum zisku

## Proces zesílení

deterministický – potom  $e \rightarrow q = Ge$ , žádný šum navíc

náhodný (u fotorezistoru, APD i fotonásobiče) – potom  $\bar{G}$  s  $\sigma_G^2$

$$\text{proud v obvodu} \quad \bar{I} = e\bar{G}\eta\Phi_p, \quad \sigma_I^2 = 2e\bar{G}\bar{I}BF$$

## Faktor zvýšení šumu $F$

- $F = \frac{\langle G^2 \rangle}{\langle G \rangle^2} = 1 + \frac{\sigma_G^2}{\langle G \rangle^2}$
- $F \geq 1$  a roste s náhodností zesílení

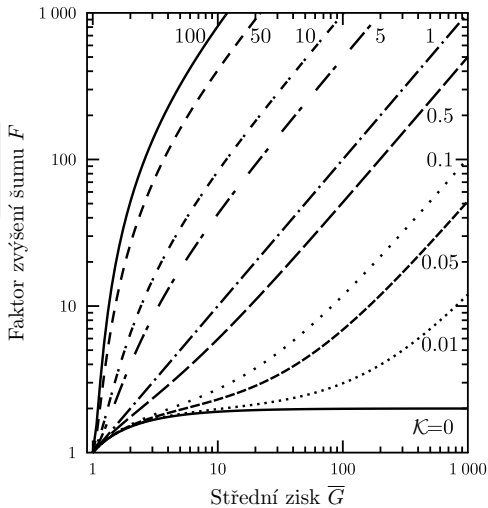
$$\text{SNR} = \frac{\bar{I}}{2e\bar{G}BF} = \frac{\eta\Phi_p}{2BF} = \frac{\bar{m}}{F}$$

# Faktor zvýšení šumu u APD

Injekce nosičů náboje do multiplikační oblasti APD

Elektrony do materiálu s  $\mathcal{K} < 1$

$$F = \mathcal{K}\bar{G} + (1 - \mathcal{K})(2 - 1/\bar{G})$$



# Faktor zvýšení šumu u APD

Injekce nosičů náboje do multiplikační oblasti APD

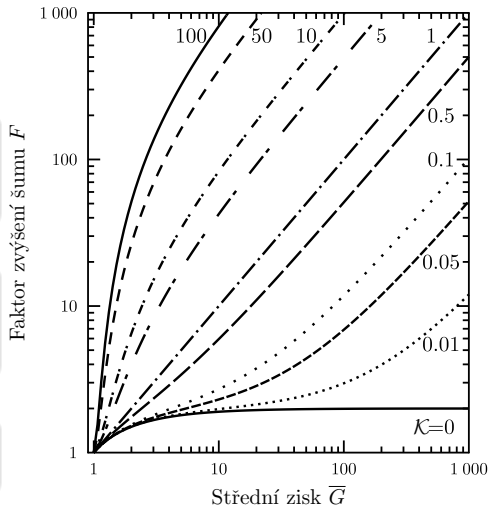
Elektrony do materiálu s  $\mathcal{K} < 1$

$$F = \mathcal{K}\bar{G} + (1 - \mathcal{K})(2 - 1/\bar{G})$$

Díry do materiálu s  $\mathcal{K} > 1$

$$F = \bar{G}/\mathcal{K} + (1 - 1/\mathcal{K})(2 - 1/\bar{G})$$

Injekce elektronů i děr  
sečtení obou vzorců



## Příčiny šumu zisku APD

- ❶ náhodnost místa vzniku
- ❷ zpětná vazba – excitují oba nosiče

## Možnosti potlačení šumu zisku

- organizace materiálu, jen pro  $d_m < 400$  nm a malý zisk
- uprava energie injektovaných nosičů gradientním polem – redukce první mrtvé oblasti
- heterostruktury – skoky v energetických pásech

## Příčiny šumu zisku APD

- ① náhodnost místa vzniku
- ② zpětná vazba – excitují oba nosiče

## Možnosti potlačení šumu zisku

- organizace materiálu, jen pro  $d_m < 400 \text{ nm}$  a malý zisk
- uprava energie injektovaných nosičů gradientním polem – redukce první mrtvé oblasti
- heterostruktury – skoky v energetických pásech

## Příčiny šumu zisku APD

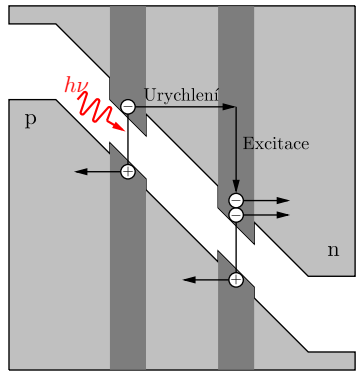
- ① náhodnost místa vzniku
- ② zpětná vazba – excitují oba nosiče

## Možnosti potlačení šumu zisku

- organizace materiálu, jen pro  $d_m < 400$  nm a malý zisk
- uprava energie injektovaných nosičů gradientním polem – redukce první mrtvé oblasti
- heterostruktury – skoky v energetických pásech

## Příčiny šumu zisku APD

- ① náhodnost místa vzniku
- ② zpětná vazba – excitují oba nosiče



## Možnosti potlačení šumu zisku

- organizace materiálu, jen pro  $d_m < 400$  nm a malý zisk
- uprava energie injektovaných nosičů gradientním polem – redukce první mrtvé oblasti
- heterostruktury – skoky v energetických pásech

# Obvodový šum

tepelný pohyb nosičů náboje v rezistorech a v tranzistorech zesilovače

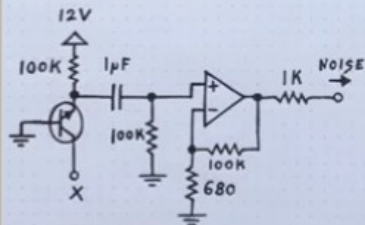
## Tepelný šum (Johnsonův, Nyquistův)

- náhodné fluktuace proudu pro  $T > 0 \text{ K}$
- je-li  $B \ll k_{\text{B}} T / h = 6.24 \text{ THz}$  ( $T = 300 \text{ K}$ ), potom  $\sigma_I^2 \approx 4k_{\text{B}} TB/R$

## Parametr šumu obvodu $\sigma_q$

$$\sigma_q = \frac{\sigma_r t_r}{e} = \frac{\sigma_r}{2Be}$$

- $\sigma_r/e$  - variance elektronového toku
- limitace odporem –  $\sigma_q = \sqrt{\frac{k_{\text{B}}T}{e^2 R L B}}$
- limitace zesílením –  $\sigma_q \approx \sqrt{\frac{B}{10}}$



# Obsah

1 Zdroje šumu

2 SNR a BER

# Poměr signálu k šumu SNR

$$\text{SNR} = \frac{\bar{I}}{2e\bar{G}\bar{I}BF + \sigma_r^2} = \frac{(e\bar{G}\eta\Phi_p)^2}{2e^2\bar{G}^2\eta BF\Phi_p + \sigma_r^2} = \frac{\bar{G}^2\bar{m}^2}{\bar{G}^2F\bar{m} + \sigma_q^2}$$

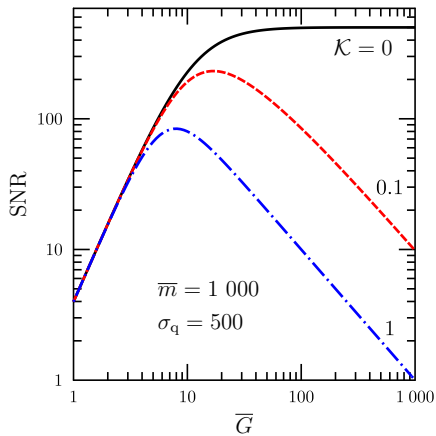
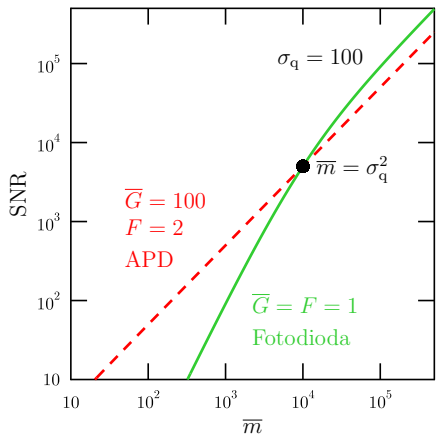
- detektor bez zisku →

$$\text{SNR} = \bar{m}^2 / (\bar{m} + \sigma_q^2)$$

- minimální počet fotoelektronů  $\bar{m}_0$  pro určitou hodnotu  $\text{SNR}_0$  –

$$\bar{m}_0 = \frac{1}{2} \left[ \text{SNR}_0 + \sqrt{\text{SNR}_0^2 + 4\sigma_q^2\text{SNR}_0} \right]$$

# SNR v závislosti na počtu fotoelektronů a na zisku



# Chybovost BER

- "1" – detekce  $\bar{n}$  fotonů × "0" – bez detekce (0 fotonů)
- průměrný počet fotonů na bit →  $\bar{n}_b = \bar{n}/2$
- Poissonovo rozdělení –  $BER = e^{-\bar{n}}/2 = e^{-2\bar{n}_b}/2$

Minimální průměrný počet fotonů na bit pro  $BER_0 = 10^{-9}$

ideální detektor	10	InGaAs APD	500
Si APD	125	p-i-n fotodioda	6 000

Střední počet fotoelektronů na bit  $\bar{m}_b$

$$\bar{m}_b = 18F + \frac{6\sigma_q}{G}$$